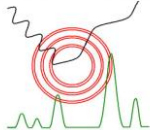
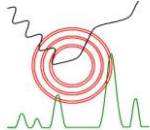


## X-RAY DIFFRACTION (XRD)

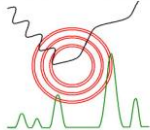
- XRD-P-1 CARBUROS Y NITRUROS DE MOLIBDENO SOPORTADOS EN MATERIALES MESOPOROSOS PARA LA HIDRODESULFURACIÓN DE TIOFENO  
**Alexis Vivenes<sup>1</sup>, Carmen Belizario<sup>2</sup>, Ernesto Bastardo-González<sup>3</sup>, Franklin Méndez<sup>1,\*</sup>, Yraida Díaz<sup>1</sup>, Joaquín L. Brito<sup>1</sup>**  
*1 Instituto Venezolano de Investigaciones Científicas, Caracas-Venezuela  
 2 Instituto Universitario de Tecnología Industrial Rodolfo Loero Arismendi. Maturín-Venezuela  
 3 Universidad de Oriente. Av. Universidad Sector Cerro Colorado. Ap. Postal 6101, Cumaná-Venezuela*
- XRD-P-2 EVALUACIÓN TÉRMICA EN LA FORMACIÓN DE CARBUROS DE NIOBIO SINTETIZADOS A PARTIR DEL COMPLEJO  $(\text{NH}_4)[\text{NBO}(\text{C}_2\text{O}_4)\cdot 2\text{H}_2\text{O}]\cdot 3\text{H}_2\text{O}$  POR EL MÉTODO DE REACCIÓN A TEMPERATURA PROGRAMADA  
**Betancourt, P.<sup>a</sup>, Brito, J.<sup>a</sup>, Díaz, Y.<sup>a</sup>, González, D.<sup>a,b</sup>, Pfaff, C.<sup>b</sup>**  
*a Lab. de Físicoquímica de Superficies, Centro de Química;  
 b Lab. de Investigaciones, Dpto. de Química Aplicada, Facultad de Ingeniería, Universidad Central de Venezuela (UCV). Caracas, Venezuela.*
- XRD-P-3 CARACTERIZACIÓN POR TÉCNICA ANALÍTICA SEM-EDX Y DRX DEL COQUE PRODUCIDO EN UN HORNO PETROQUÍMICO Y ANÁLISIS DE SU EFECTO SOBRE EL MECANISMO DE CARBURIZACIÓN EN UN ACERO HP40  
**Jaqueline Saavedra Rueda<sup>1</sup>, María del Rosario Pérez Trejos<sup>1</sup>, Angélica María Carreño Parra<sup>1</sup>, Dionisio Laverde Cataño<sup>2</sup>, Francisco Javier Bolívar Osorio<sup>3</sup>**  
*1 Instituto Colombiano del petróleo, Ecopetrol, Santander, Colombia  
 2 Departamento de Ingeniería Química, Universidad Industrial de Santander, Bucaramanga, Colombia  
 3 Departamento de Materiales, Universidad de Antioquia, Ciudadela Universitaria, Medellín, Colombia*
- XRD-P-4 DETERMINACIÓN DE ASBESTOS POR DIFRACCIÓN DE RAYOS X  
**S.F. Amore<sup>1</sup>, R.J. Alvarez<sup>1</sup>, M.M. Puelles<sup>1</sup>, M. Borinsky<sup>1</sup>**  
*1 Instituto Nacional de Tecnología Industrial, Centro de Química, Buenos Aires, Argentina.*
- XRD-P-5 GIXRD en el control del crecimiento de alúmina sobre FeCrAl.  
**J. I. Guzmán-Castañeda<sup>1</sup>, A. García-Bórquez<sup>1</sup>, G. Juárez-Díaz<sup>2</sup>, J. Martínez-Juárez<sup>2</sup>, R. D. Arizabalo-Salas<sup>3</sup>.**  
*1ESFM-IPN, Dep., Ed. 9-UPALM, 07738 Mexico, D.F.  
 2CIDS-ICUAP- BUAP, Edif. 136, C.U., 72570 Puebla.  
 3IMP, Dirección de Investigación y Posgrado, 07730 Mexico D.F.*
- XRD-P-6 SÍNTESIS Y CARATERIZACION DE CATALIZADORES BASADOS EN CERIO SOPORTADOS EN ALUMINA  
**Franklin Méndez<sup>1,\*</sup>, Julia Guerra<sup>1,2</sup>, Susana Curbelo<sup>2</sup>, Yanet Villasana<sup>1</sup>, Joaquín L. Brito<sup>1</sup>**  
*1 Instituto Venezolano de Investigaciones Científicas, Caracas-Venezuela  
 2 Universidad Simón Bolívar. Valle de Sartenejas, Baruta. Ap. Postal 89000, Caracas-Venezuela*
- XRD-P-7 SÍNTESIS, CARACTERIZACIÓN Y ACTIVIDAD CATALÍTICA EN HDS DE TIOFENO DE CARBUROS MONOMETÁLICOS DE NÍQUEL Y MOLIBDENO  
**Yanet Villasana<sup>1,\*</sup>, Miguel A. Luis-Luis<sup>2</sup>, Franklin Méndez<sup>1</sup>, Joaquín L. Brito<sup>1</sup>**  
*1 Instituto Venezolano de Investigaciones Científicas. Caracas-Venezuela  
 2 Universidad de Carabobo. Avenida Universidad, Sector Bárbula, Ap. Postal 2005, Valencia-Venezuela*



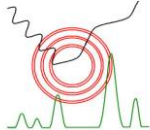
- XRD-P-8 CATALIZADORES BASADOS EN NITRUROS MONOMETÁLICOS DE NÍQUEL Y MOLIBDENO: SÍNTESIS, CARACTERIZACIÓN Y ACTIVIDAD CATALÍTICA EN HDS DE TIOFENO  
**Yanet Villasana<sup>1</sup>, Miguel A. Luis-Luis<sup>2</sup>, Joaquín L. Brito<sup>1</sup>**  
*1 Instituto Venezolano de Investigaciones Científicas, Caracas-Venezuela*  
*2 Universidad de Carabobo. Avenida Universidad, Sector Bárbula, Ap. Postal 2005, Valencia-Venezuela*
- XRD-P-9 ANÁLISIS ELEMENTAL QUÍMICO Y DE FASES POR MEDIO DE PIXE, FRX Y DRX EN CEMENTOS DENTALES  
**Flores Ledesma Abigail<sup>1</sup>, Bucio Galindo Lauro<sup>2</sup>, Barceló Santana Federico<sup>3</sup>**  
*1 División de Estudios de Posgrado e Investigación Facultad de Odontología, UNAM México DF, México*  
*2 Instituto de Física, Universidad Nacional Autónoma de México, DF, México*  
*3 División de Estudios de Posgrado e Investigación Facultad de Odontología, UNAM DF, México*
- XRD-P-10 SYNTHESIS, STRUCTURAL ELECTRONIC AND MAGNEIC STUDIES OF TWO NOBEL COMPOUNDS [Cu(II)SALEANN<sub>3</sub>H<sub>5</sub>] AND [Zn(II)SALEANN<sub>3</sub>H<sub>5</sub>]  
**M. G. Quintero-Téllez<sup>1</sup>, J. L. O. Sánchez-Daza<sup>2</sup>, M. J. Rosales-Hoz<sup>3</sup>, D. Ramírez-Rosales<sup>4</sup>, R. Zamorano-Ulloa<sup>4</sup>, Y. Reyes-Ortega<sup>4\*</sup>**  
*1 Facultad de Ciencias Físico Matemáticas, Universidad Autónoma de Puebla, Puebla, Pue., México*  
*2 Facultad de Ingeniería Química, Universidad Autónoma de Puebla, Puebla, Pue., México*  
*3 Departamento de Química, Centro de Investigación y de Estudios Avanzados, IPN, México, D. F.*  
*4 Escuela Superior de Física y Matemáticas, Instituto Politécnico Nacional, México, D. F.*  
*5 Centro de Química, Instituto de Ciencias, Universidad Autónoma de Puebla, Puebla, Pue., México*
- XRD-P-11 LEAD SELENIDE COMPOUNDS, SYNTHESIS AND CHARACTERIZATION  
**H. Rojas<sup>1</sup>, M. Achimovičová<sup>2</sup>, F. Reyes<sup>3</sup>, A. Rečnik<sup>4</sup> and D. Jaramillo<sup>1</sup>**  
*1 IPN-CIITEC Cerrada de CECATI s/n, Azcapotzalco, D.F., 02250, México.*  
*2 Institute of Geotechnics, Slovak Academy of Sciences Watsonova 45, Košice, 04353, Slovakia.*  
*3 IQ-UNAM Circuito de la Investigación Científica s/n, Coyoacán, D.F., 04510, México.*  
*4 Jožef Stefan Institute, Department for Nanostructured Materials Jamova 39, SI-1000 Ljubljana, Slovenia.*
- XRD-P-12 CHEMICAL DELITHIATION OF LiM<sub>v</sub>2O<sub>4</sub> SPINEL  
**Araceli Romero-Núñez, Alejandro Ibarra-Palos**  
*Instituto de Investigaciones en Materiales, Universidad Nacional Autónoma de México, D.F., México.*
- XRD-P-13 SYNTHESIS BY GLOW DISCHARGE PLASMAS OF TITANIUM OXIDE NANOPARTICLES USING TETRA TITANIUM PROPOXIDE  
**F. González<sup>1</sup>, M.G. Olayo<sup>2</sup>, G.J. Cruz<sup>2</sup>, E. Ordoñez<sup>2</sup>, G. García<sup>1</sup>**  
*1 Instituto Tecnológico de Toluca, CP 5214, México*  
*2 Instituto Nacional de Investigaciones Nucleares, CP 11801, México*
- XRD-P-14 ANÁLISIS DE PELICULAS DELGADAS DE SELENURO DE PLOMO POR MEDIO DE DIFRACCIÓN DE RAYOS-X  
**R. Romano-Trujillo<sup>1</sup>, E. Rosendo<sup>1</sup>, M. Ortega<sup>2</sup>, C. M. Olvera<sup>1</sup>, F. G. Nieto<sup>1</sup>, G. García<sup>1</sup>, T. Díaz<sup>1</sup>, H. Juárez<sup>1</sup>, M. Pacio<sup>1</sup>, J. A. Luna<sup>1</sup>**  
*1 Centro de Investigación en Dispositivos Semiconductores, Instituto de Ciencias de la BUAP,*  
*2 Departamento de Ingeniería Eléctrica, Sección de Electrónica del Estado Sólido, Centro de Investigación y de Estudios Avanzados del Instituto Politécnico Nacional, México, D. F. México*



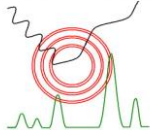
- XRD-P-15 EVALUACION DE LA ESTRUCTURA Y MICROESTRUCTURA DE OXIDOS DE Mg<sub>x</sub>Ni<sub>1-x</sub>, OBTENIDOS POR COPRECIPITACIÓN  
**G. Martínez –Lozano, Tetyana Kryshchak, Miguel Hesiquio-Garduño**  
*Instituto Politécnico Nacional. Depto. de Física, (ESFM), UPALM, México-D.F. 07738, México.*
- XRD-P-16 SÍNTESIS Y CARACTERIZACIÓN ESTRUCTURAL POR DIFRACCIÓN DE RAYOS-X DEL COMPUESTO 1-[(2,3-DIMETILFENIL)AMINO]METILNAFTALENO  
**H. A. Camargo<sup>1</sup>, J.A. Henao<sup>1</sup>, V. V. Kouznetsov<sup>2</sup> y A. Briceño<sup>3</sup>.**  
*1 Grupo de Investigación en Química Estructural (GIQUE) Universidad Industrial de Santander, Colombia  
 2 Laboratorio de Química Orgánica y Biomolecular (LQOBio) Universidad Industrial de Santander, Colombia  
 3 Laboratorio de Síntesis y Caracterización de Nuevos Materiales, Instituto Venezolano de Investigaciones Científicas (IVIC) Caracas, Venezuela*
- XRD-P-17 SÍNTESIS Y CARACTERIZACIÓN CRISTALOGRÁFICA POR DIFRACCIÓN DE RAYOS X DEL COMPUESTO 2-[(FENILCARBONIL)AMINO]-4,5,6,7-TETRAHIDRO-1-BENZOTIOFEN-3-CARBOXILATO DE ETILO  
**Mónica V. Sandoval<sup>1</sup>, J.A. Henao<sup>1</sup>, Arnold R. Romero Bohórquez<sup>2</sup> y Vladimir V. Kouznetsov<sup>2</sup>**  
*1 Grupo de Investigación en Química Estructural (GIQUE), Universidad Industrial de Santander, Bucaramanga, Colombia  
 2 Laboratorio de Química Orgánica y Biomolecular (LQOBio), Universidad Industrial de Santander, Bucaramanga, Colombia.*
- XRD-P-18 STRUCTURAL ANALYSIS OF PHASE TRANSITIONS IN COPPER SUCCINATE FROM AMMINE ABSORPTION  
**P. Vera-Cruz<sup>1</sup>, B. Torruco<sup>1</sup>, L.F. del Castillo<sup>1</sup>, M.Basterrechea<sup>2</sup>, J. Balmaseda<sup>1\*</sup>**  
*1 Departamento de polímeros, Instituto de Investigaciones en Materiales, Universidad Nacional Autónoma de México, D.F. C.P. 04510.  
 2 Instituto de Ciencia y Tecnología de Materiales, Universidad de La Habana. San Lázaro IL CP 10400 Ciudad Habana, Cuba.*
- XRD-P-19 ESTUDIO ESTRUCTURAL DEL CUPRATO DE LITIO SOBRELITIADO (Li<sub>2</sub>+2XCuO<sub>2</sub>+X) Y SU APLICACIÓN EN LA CAPTURA DE CO<sub>2</sub>  
**Luis M. Palacios-Romero, Heriberto Pfeiffer**  
*Instituto de Investigaciones en Materiales, Universidad Nacional Autónoma de México, México DF.*
- XRD-P-20 SINTESIS Y OPTIMIZACION DE LAS PROPIEDADES DEL MINERAL TRIOXIDO AGREGADO (MTA) USANDO DRX  
**América Y. Torres M<sup>1</sup>, Irma A. Belío R.<sup>1</sup> Lauro Bucio<sup>2</sup>.**  
*1 Universidad Autónoma de Sinaloa. Universitarios S/N, Col. Villa universidad, Culiacán, Sinaloa.  
 2 Instituto de Física, Universidad Nacional Autónoma de México. Ciudad Universidad. México, D.F.*
- XRD-P-21 FIGURA DE POLOS GENERALIZADA DE METALES Y ALEACIONES  
**A. M. Salcedo Garrido<sup>1</sup>, F. Cruz-Gandarilla<sup>1</sup>, T. Baudin<sup>2,3</sup>, H. Mendoza-León<sup>1</sup>, R. Penelle<sup>2,3</sup>**  
*1 Instituto Politécnico Nacional, Escuela Superior de Física y Matemáticas, Edif. Ciencia de los Materiales. México, D.F., C.P. 07738.  
 2 CNRS, UMR8182, ICMMO, Laboratoire de Physico-Chimie de l'Etat Solide, Orsay, F-91405;  
 3 University of Paris-Sud, Orsay, F-91405.*



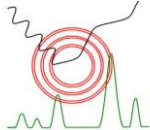
- XRD-P-22 SÍNTESIS Y CARACTERIZACIÓN ESTRUCTURAL POR DIFRACCIÓN DE RAYOS-X DE CRISTAL ÚNICO DE DOS NUEVOS POLÍMEROS DE COORDINACIÓN BASADOS EN NODOS METÁLICOS, ÁCIDOS CARBOXÍLICOS Y BIPYRIDINAS  
**Teresa González, Alexander Briceño**  
*Laboratorio de Síntesis y Caracterización de Nuevos Materiales, Centro de Química, Instituto Venezolano de Investigaciones Científicas Caracas 1020-A, Venezuela.*
- XRD-P-23 ESTUDIO CRYSTALOGRAFICO DE 4 MOLECULAS DE DIFENIL HIDRAZONA POR DIFRACCION DE RAYOS-X DE MONOCRISTAL  
**Gerardo de Jesús Varela<sup>1</sup>, Angel Mendoza<sup>2</sup>, Vladimir Carranza<sup>2</sup>, Blanca M. Cabrera-Vivas<sup>3</sup>, Ruth Meléndrez-Luevano<sup>3</sup>**  
*1 Facultad de Ingeniería Química,  
 2 Centro de Química, ICUAP,  
 3 Facultad de Ciencias Químicas, Benemérita Universidad Autónoma de Puebla, Puebla, Pue., México*
- XRD-P-24 THE USE OF PRIMARY AND SECONDARY EXTINCTION FOR CORRECTION OF POLE DENSITY MEASURED BY X-RAY DIFFRACTION  
**T. Kryshtab<sup>1</sup>, A. Cadena Arenas<sup>1</sup>, G. Gómez Gasga<sup>1</sup> and A. De Ita de la Torre<sup>2</sup>, A. Kryvko<sup>3</sup>**  
*1 Instituto Politécnico Nacional-ESFM, Av. IPN, Ed. 9, U.P.A.L.M., 07738, México, D. F. México.  
 2 Area of Material Science, UAM-Unidad Azcapotzalco, México, D. F., México.  
 3 Instituto Politécnico Nacional-ESIME Zacatenco, 07360, México, D.F. México*
- XRD-P-25 CARACTERIZACIÓN ESTRUCTURAL DE PELÍCULAS DE Bi<sub>2</sub>Te<sub>3</sub> DEPOSITADOS EN SUBSTRATOS DE VIDRIO Y OBTENIDAS POR SINTESIS COLOIDAL  
**S. Jiménez<sup>1</sup>, M. Ortega<sup>2</sup>, J. G. Pérez<sup>1</sup>, C. D. Gutiérrez<sup>2</sup>, O. López<sup>1</sup>, J. L. Sosa<sup>1</sup>, J. Martínez<sup>1</sup>**  
*1 Centro de Investigaciones en Dispositivos Semiconductores - Instituto de Ciencias Benemérita universidad autónoma de Puebla, Puebla, Pue., México, C.P. 72570.  
 2 Sección de Electrónica del Estado Sólido, Departamento de Ingeniería Eléctrica, Centro de Investigación y de Estudios Avanzados del Instituto Politécnico Nacional, Mexico D. F., C.P. 07360*
- XRD-P-26 SÍNTESIS Y CARACTERIZACIÓN CRYSTALOGRAFICA POR DIFRACCIÓN DE RAYOS-X DEL COMPUESTO 2-( $\alpha$ -NAFTIL)-3-( $\alpha$ -PIRIDINIL)-1,3-TIAZOLIDIN-4-ONA  
**J. L. Pinto<sup>1</sup>, J.A. Henao<sup>1</sup>, V. V. Kouznetsov<sup>2</sup>**  
*1 Grupo de Investigación en Química Estructural (GIQUE) UIS, Bucaramanga Colombia  
 2 Laboratorio de Química Orgánica y Biomolecular (LQOBio) UIS, Bucaramanga, Colombia*
- XRD-P-27 ESTUDIO DE LA CRISTALINIDAD DE QUITOSAN  
**A. Hernández Juárez<sup>1</sup>, H. Hernández Cocoltzi<sup>1</sup>, E. Águila Almanza<sup>1</sup>, E. Rubio Rosas<sup>2</sup>**  
*1 Facultad de Ingeniería Química, Benemérita Universidad Autónoma de Puebla. México.  
 2 Centro Universitario de Vinculación, Benemérita Universidad Autónoma de Puebla. Puebla, 72570 México.*
- XRD-P-28 GXRd nanohills detection on Ti-Stabilized Stainless Steel after Solution Annealing and Irradiation treatments.  
**N.Flores-Fuentes<sup>1</sup>, A. García-Bórquez<sup>1</sup>, R. G. Reyna-García<sup>2</sup>, G. Juárez-Díaz<sup>3</sup>, J. Martínez-Juárez<sup>3</sup>**  
*1 ESFM-IPN, Dep., Ed. 9-UPALM, 07738 Mexico, D.F.  
 1,2 FI-UNAM. Av. Universidad 3000. C.U. Coyoacán, 04510 México D.F.  
 3 CIDS-ICUAP- BUAP, Edif. 136, C.U., 72570 Puebla.*



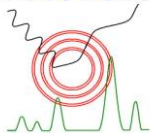
- XRD-P-29 CARACTERIZACIÓN ESTRUCTURAL POR DIFRACCIÓN DE RAYOS X DE ALTA RESOLUCIÓN DE HETEROUNIONES DE  $Al_xGa_{1-x}Sb/GaSb$  OBTENIDAS POR EFL.  
**P. López-Salazar<sup>1</sup>, L. Palacios-Huerta<sup>1</sup>, M.L. García-Cruz<sup>1</sup>, G. Juárez<sup>2</sup>, J. Díaz<sup>3</sup> J. Martínez<sup>1</sup>**  
 1 CIDS-ICUAP, Benemérita Universidad Autónoma de Puebla, Puebla, México.  
 2 Depto. Ing. Eléctrica, S.E.S., Centro de Investigación y Estudios Avanzados, IPN, D.F., México.  
 3 CIBA, IPN, Ex-Hacienda de San Juan Molino, Km.1.5, Tepetitla, Tlaxcala, México.
- XRD-P-30 CHARACTERIZATION OF HYDROXYAPATITE FROM NATURAL FISH BONE  
**P. F. Flores<sup>1</sup>, E. Rubio<sup>2</sup>, H. Hernández<sup>1</sup>**  
 1 Facultad de Ingeniería Química, Benemérita Universidad Autónoma de Puebla . Puebla México.  
 2 Centro Universitario de Vinculación, Benemérita Universidad Autónoma de Puebla . Puebla México
- XRD-P-31 SÍNTESIS HIDROTÉRMICA DE MICROESFERAS DE CARBONO DECORADAS CON NANOAGREGADOS DE HETEROPOLIMOLIBDATOS Y SUS TRANSFORMACIONES. APLICACIONES EN CATÁLISIS  
**Carlos Avendaño<sup>1</sup>, Franklin Méndez<sup>2</sup>, Joaquín Brito<sup>2</sup> y Alexander Briceño<sup>1</sup>**  
 1 Instituto Venezolano de Investigaciones Científicas, Centro de Química, Laboratorio de Síntesis y Caracterización de Nuevos Materiales, Caracas, Venezuela  
 2 Instituto Venezolano de Investigaciones Científicas, Centro de Química, Laboratorio de Físicoquímica de Superficies, Caracas, Venezuela
- XRD-P-32 SÍNTESIS Y CARACTERIZACIÓN CRISTALOGRÁFICA POR DIFRACCIÓN DE RAYOS-X DEL COMPUESTO N-BENCIL-6-COLORO-4-(4-METOXIFENIL)-3-METIL-1,2,3,4-TETRAHIDROQUINOLINA  
**J. A. Pinilla<sup>1</sup>, J.A. Henao<sup>1</sup>, Arnold R. Romero Bohórquez<sup>2</sup> y Vladimir V. Kouznetsov<sup>2</sup>**  
 1 Grupo de Investigación en Química Estructural (GIQUE) UIS, Bucaramanga, Colombia  
 2 Laboratorio de Química Orgánica y Biomolecular (LQOBio) UIS, Bucaramanga, Colombia
- XRD-P-33 PMMA/MONTMORRILONITE NANOCOMPOSITE  
**G. Martínez-Rugerio<sup>1</sup>, E. Rubio-Rosas<sup>2</sup> and J. Almaral<sup>3</sup>**  
 1 Centro Universitario de Vinculación, Benemérita Universidad Autónoma de Puebla, Puebla. México.  
 2 Centro Universitario de Vinculación, Benemérita Universidad Autónoma de Puebla, Puebla. México.  
 3 Universidad Autónoma de Sinaloa. Los Mochis Sinaloa, México.
- XRD-P-34 CARACTERIZACION ESTRUCTURAL DE NANOCRIETALES DE CdSe:S OBTENIDO MEDIANTE LA TECNICA DE DEPOSICION POR BAÑO QUIMICO  
**J. I. Contreras-Rascón<sup>1</sup>, G. Juárez-Díaz<sup>1</sup>, J. Martínez-Juárez<sup>1</sup>, A. Méndez-López<sup>1</sup>, J. Díaz-Reyes<sup>2</sup>**  
 1 CIDS-ICUAP, Benemérita Universidad Autónoma de Puebla, Puebla, Pue., C.P 72570. México  
 2 CIBA-IPN, Ex –Hacienda de San Juan Molino. Tepetitla, Tlaxcala. C. P. 90700. MÉXICO
- XRD-P-35 CARACTERIZACIÓN POR DRX DE ÓXIDOS MIXTOS  $BaO/ZrO_2$  PREPARADOS EN FASE HOMOGÉNEA SOL – GEL.  
**S. Toledo F.<sup>1</sup>, C. Barahona A.<sup>1</sup>, J. Alberto Mariscal G<sup>2</sup>.**  
 1 Benemérita Universidad Autónoma de Puebla, Instituto de Ciencias, Depto. de Investigaciones en Zeolitas, Puebla,.  
 2 Benemérita Universidad Autónoma de Puebla, Facultad de Ingeniería Puebla, México.



- XRD-P-36 (4-ALLYLCARBONATE))PHENYL 4-ALLYLCARBONATE BENZOATE MONOMER  
**DELIA. LOPEZ-VELAZQUEZ<sup>1</sup>, GEOLAR FETTER<sup>1</sup>, GABRIEL JUAREZ DIAZ<sup>2</sup>, JAVIER MARTINEZ JUAREZ<sup>2</sup>.**  
*1 FAC C. QUIM. BENEMERITA UNIVERSIDAD AUTONOMA DE PUEBLA, MEXICO.  
 2 CIDS-ICUAP BENEMERITA UNIVERSIDAD AUTONOMA DE PUEBLA, MEXICO.*
- XRD-P-37 ESTUDIO DE LA SOLUCIÓN SÓLIDA  $\text{LiNi}_{1-x}\text{Co}_x\text{O}_2$   
**Enrique Torres Ramírez, Alejandro Ibarra Palos**  
*Instituto de Investigaciones en Materiales, Universidad Nacional Autónoma de México  
 Circuito Exterior s/n, A.P. 70-360 Ciudad Universitaria, Coyoacán, México D.F. 04510, México.*
- XRD-P-38 CHARACTERIZATION OF GaInAsSb QUATERNARY LAYERS ON GaSb SUBSTRATES GROWTH IN THE MISCIBILITY GAP BY LPE USING X-RAY DIFFRACTION  
**V. H. Compeán Jasso<sup>1</sup>, F. J. de Anda<sup>1</sup>, J. Nieto-Navarro<sup>1</sup>, V. A. Mishurnyi<sup>1</sup>, A. Yu. Gorbachev<sup>1</sup>**  
*Instituto de Investigación en Comunicación Óptica, Universidad Autónoma de San Luis Potosí. S.L.P.*
- XRD-P-39 STRUCTURAL AND NANOSTRUCTURAL STUDY OF PHARMACEUTICAL COMPOUNDS: DEFLAZACORT  
**Paulino A.S.<sup>1</sup>, Rauber, G.<sup>1</sup>, Campos C.E.M<sup>2</sup>, Cuffini S.L.<sup>1,3</sup>, Cardoso S.G.<sup>1</sup>**  
*1 Departamento de Ciencias Farmacêuticas, Universidade Federal de Santa Catarina (UFSC); Florianópolis, Brasil  
 2 Departamento de Física, Universidade Federal de Santa Catarina (UFSC); Florianópolis, Brasil  
 3 CONICET-CEPROCOR – MinCyT. Córdoba, Argentina*
- XRD-P-40 X-RAY POWDER DIFFRACTION STUDIES TO OPTIMIZE THE SYNTHESIS OF LATHANUM MANGANITE  
**Ulises Salazar, M.E. Mendoza, C. Márquez**  
*Instituto de Física Luis Rivera Terrazas, Benemérita Universidad Autónoma de Puebla, Puebla, México*
- XRD-P-41 RESOLUCIÓN POR DIFRACCIÓN DE RAYOS-X A BAJA TEMPERATURA DEL COMPUESTO DECAVANADATO (V) DE DIHIDRONIO 4-(DIMETILAMINOPIRIDINIO) OCTAHIDRATADO  $(\text{C}_7\text{H}_{11}\text{N}_2)_4(\text{H}_3\text{O})_2[\text{V}_{10}\text{O}_{28}]\cdot 8\text{H}_2\text{O}$   
**Eduardo Sánchez-Lara<sup>1,2</sup>, Aarón Pérez Benítez<sup>2</sup>, Ángel Mendoza<sup>3</sup>, Marco Flores Alamo<sup>4</sup> y Enrique González Vergara<sup>1</sup>**  
*1Laboratorio de Bioinorgánica Aplicada, ICUAP, Benemérita Universidad Autónoma de Puebla, Pue. México.  
 2Facultad de Ciencias Químicas, Benemérita Universidad Autónoma de Puebla  
 3Centro de Química, ICUAP  
 4Facultad de Química, Universidad Nacional Autónoma de México*
- XRD-P-42 ZANTHOXYFOLINE, A MONOTERPENOID 7-O-DERIVATIVE OF 2-QUINOLONE ISOLATED FROM THE LEAVES OF ZANTHOXYLUM RHOIFOLIUM.  
**J. Bruno-Colmenárez<sup>1</sup>, L. Santiago<sup>2</sup>, Duane Choquesillo-Lazarte<sup>3</sup>, Juan M. García-Ruiz<sup>3</sup>, G. Díaz de Delgado<sup>1</sup>, and C. Rosquete<sup>2</sup>.**  
*1 LNDR-X-Laboratorio de Cristalografía, Departamento de Química, Facultad de Ciencias, Universidad de los Andes, Mérida-5101, Venezuela  
 2 Laboratorio de Productos Naturales, Departamento de Química, Facultad de Ciencias, Universidad de los Andes, Mérida-5101, Venezuela  
 3 Laboratorio de Estudios Cristalográficos, Universidad de Granada, Granada, España.*

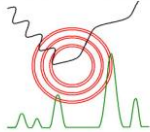


- XRD-P-43 ESTRUCTURA CRISTALINA DE ITACONATOS DE CALCIO PREPARADOS A TEMPERATURA AMBIENTE Y EN CONDICIONES HIDROTÉRMICAS  
**Jines E. Contreras<sup>1</sup>, Teresa González<sup>2</sup>, Alexander Briceño<sup>2</sup>, Maren Pink<sup>3</sup>, J. M. Delgado<sup>1</sup> y G. Díaz de Delgado<sup>1</sup>.**  
*1 LNDR-X, Laboratorio de Cristalografía, Departamento de Química, Facultad de Ciencias, ULA, Mérida, Venezuela*  
*2 Laboratorio de Síntesis de Nuevos Materiales, Centro de Química, IVIC, San Antonio de los Altos, Venezuela*  
*3 Indiana University Molecular Structure Center, Bloomington, Indiana, USA.*
- XRD-P-44 ESTUDIO DE UNA UNIÓN P-N DE GaAsSb POR LPE  
**A. Méndez-López<sup>1</sup>, J. Martínez-Juárez<sup>1</sup>, G. Juárez-Díaz<sup>1</sup>, J. I. Contreras Rascón<sup>1</sup>, J. Díaz-Reyes<sup>2</sup>, D. Hernández de la Luz<sup>1</sup>, M. L. García-Cruz<sup>1</sup>, F. De Anda<sup>3</sup>, P. Rodríguez-Fragoso<sup>4</sup>, M. Galván-Arellano<sup>5</sup>,**  
*1 CIDS-ICUAP, Benemérita Universidad Autónoma de Puebla, Puebla, Pue., C.P 72570. México*  
*2 CIBA-IPN, Ex –Hacienda de San Juan Molino Km. 1.5. Tepetitla, Tlaxcala. C. P. 90700. MÉXICO*  
*3 IICO-UASLP, Av. Karakorum 1470, Lomas 4a Sección, San Luis Potosí, C. P. 78210, San Luis Potosí, México*  
*4 CINVESTAV-IPN, Depto. de Física. A. P. 14-740. México, D. F. 07000, México*  
*5 CINVESTAV-IPN, Depto. de Ing. Eléctrica, SEES. A. P. 14-740. México, D. F. 07000. México*
- XRD-P-45 STUDY OF RESIDUAL STRESS DISTRIBUTIONS IN WELD REGION BY X-RAY DIFFRACTION TECHNIQUE  
**Joaquim T. de Assis<sup>1</sup>, Sergio N. Turibus<sup>1</sup>, Susana M. Iglesias<sup>1</sup>, Vladimir I. Monin<sup>1</sup>.**  
*1 Universidade do Estado do Rio de Janeiro, Instituto Politécnico, 28630-050 Nova Friburgo, Rio de Janeiro, Brasil*
- XRD-P-46 CHARACTERIZATION OF ZnO OBTAINED BY CHEMICAL BATH  
**A. Méndez<sup>1</sup>, J. Díaz<sup>2</sup>, P. Rodríguez<sup>3</sup>, J. I. Contreras<sup>1</sup>, M. Galván<sup>4</sup>**  
*1 CIDS-ICUAP, Benemérita Universidad Autónoma de Puebla, Puebla, Pue., C.P 72570. México*  
*2 CIBA-IPN, Ex –Hacienda de San Juan Molino Km. 1.5. Tepetitla, Tlaxcala. C. P. 90700. MÉXICO*  
*3 CINVESTAV-IPN, Depto. de Física. A. P. 14-740. México, D. F. 07000, México*  
*4 CINVESTAV-IPN, Depto. de Ing. Eléctrica, SEES. A. P. 14-740. México, D. F. 07000. México*
- XRD-P-47 CRYSTAL STRUCTURE OF DEXCHLORPHENIRAMINE MALEATE, AN ANTIHISTAMINE AND ANTICHOLINERGIC PHARMACEUTICAL INGREDIENT.  
**Robert Toro<sup>1</sup>, Duane Choquesillo-Lazarte<sup>2</sup>, Juan M. García-Ruiz<sup>2</sup>, Graciela Díaz de Delgado<sup>1</sup>, José M. Delgado<sup>1\*</sup>**  
*1 Laboratorio de Cristalografía-LNDRX, Departamento de Química, Universidad de Los Andes, Mérida, Venezuela.*  
*2 Laboratorio de Estudios Cristalográficos, IACT, Universidad de Granada, Granada, España.*
- XRD-P-48 CHARACTERIZATION OF SÍLICA MESOPOROUS MATERIAL-CONFINED CD1-XZNXS FOR PHOTOCATALYTIC PRODUCTION OF HYDROGEN  
**S.A. Macías-Sánchez<sup>1</sup>, V. Hernández-Morales<sup>1</sup>, Y.J. Acosta-Silva<sup>1</sup>, R. Nava-Mendoza<sup>1</sup>, M.L. Gómez-Herrera<sup>1</sup>**  
*1 División de Investigación y Posgrado, Facultad de Ingeniería, Universidad Autónoma de Querétaro, Qro. México*
- XRD-P-49 PHOTOCATALYTIC DEGRADATION OF THE WATER ORGANIC CONTAMINANT PHENOL USING TiO<sub>2</sub>-SUPPORTED MESOPOROUS SILICA MATERIAL  
**Y.J. Acosta-Silva<sup>1</sup>, V. Hernández-Morales<sup>1</sup>, S. A. Macías-Sánchez<sup>1</sup>, M.L. Gómez-Herrera<sup>1</sup>, R. Nava-Mendoza<sup>1</sup>,**  
*1 División de Investigación y Posgrado, Facultad de Ingeniería, Universidad Autónoma de Querétaro. Qro. México*



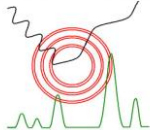
- XRD-P-50 REMEDIACION DEL Pb <sup>+2</sup> UTILIZANDO SILICE MESOPOROSA SBA-15 FUNCIONALIZADA CON GRUPOS MERCAPTANO, AMINO Y CARBOLXILICO  
**V. Hernández Morales<sup>1</sup>, Y. J. Acosta Silva<sup>1</sup>, S. A. Macías Sánchez<sup>1</sup>, J. I. Contreras-Rascón<sup>2</sup>, J. Martínez-Juarez<sup>2</sup>, R. Nava Mendoza<sup>1</sup>, M. L. Gómez-Herrera<sup>1</sup>**  
*1 Facultad de Ingeniería de la Universidad Autónoma de Querétaro. Santiago de Querétaro, Qro.  
 2 Posgrado CIDS-ICUAP Benemérita Universidad Autónoma de Puebla, México.*
- XRD-P-51 MICRO STRUCTURAL ANALYSIS IN CRYSTALLINE AND AMORPHOUS COMPOUNDS GENERATED BY THE V<sub>2</sub>O<sub>5</sub>-CdO-Cu REACTIVE  
**A. Cid-García<sup>1a,1c</sup>, G. López-Calzada<sup>1a</sup>, J. Carmona-Rodríguez<sup>2</sup>, Ma. E. Zayas<sup>3</sup>, F. Rodríguez-Melgarejo<sup>2</sup>, O. Zelaya- Ángel<sup>4</sup>, O. Portillo-Moreno<sup>1b</sup>, S. Jiménez-Sandoval<sup>2\*</sup>, R. Palomino<sup>1a</sup>, R. Lozada-Morales<sup>1a\*\*</sup>, G. Juárez<sup>1d</sup> and J. Martínez<sup>1d</sup>.**  
*1 Benemérita Universidad Autónoma de Puebla.  
 1a Postgrado en Física Aplicada. Facultad de Ciencias Físico-Matemáticas  
 1b Facultad de Ciencias Químicas,  
 1d CIDS-ICUAP, Av. 14 Sur y San Claudio, San Manuel.72570 Puebla Pue, México.  
 2 Centro de Investigación y de Estudios Avanzados del IPN, Unidad Querétaro,  
 3 Departamento de Investigación en Física de la Universidad de Sonora,  
 4 Departamento de Física, Centro de Investigación y de Estudios Avanzados, D. F., México*
- XRD-P-52 ESTUDIO POR DIFRACCIÓN DE RAYOS X DEL (S)-(-)-(1H-INDOL-3-IL)-N-(1-FENIL-ETIL)-ACETAMIDA  
**Johana Ramírez, Jorge R. Juárez, Angel Mendoza, Joel L. Terán, Alejandro Castro, Dino Gnecco**  
*Centro de Química, ICUAP, Benemérita Universidad Autónoma de Puebla,*
- XRD-P-53 ESTUDIO CRISTALOGRAFICO DEL DIMERO 2,10-DIFENIL-4,12-DIOXA-1,9-DIAZATRICICLO[11.3.1.15,9] OCTADECANO-17,18-DIONA  
**Oscar J. Romero,<sup>1</sup> Jorge R. Juárez,<sup>1</sup> Angel Mendoza,<sup>1</sup> Joel L. Terán,<sup>1</sup> Alejandro Castro,<sup>1</sup> Ma. Laura Orea Flores<sup>1</sup> and Marcos Flores-Alamo<sup>2</sup>**  
*1Centro de Química, Instituto de Ciencias, Benemérita Universidad Autónoma de Puebla.  
 2Facultad de Química, Universidad Nacional Autónoma de México 04510 México DF, Mexico*



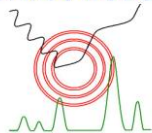


## X-RAY FLUORESCENCE (XRF)

- XRF-P-1 COMPONENTES DE PASTA Y VIDRIADO EN MUESTRAS DE LOZAS CREAMWARE, PEARLWARE Y WHITEWARE MEDIANTE FLUORESCENCIA DE RAYOS X  
**Lic. Graciela Custo<sup>1</sup>, Lic. Patricia Frazzi<sup>2</sup> y Sra. Martha Ortiz<sup>1</sup>**  
*1 Comisión Nacional de Energía Atómica Constituyentes 1499 San Martín Buenos Aires Argentina*  
*2 Área Conservación y Restauración, Centro de Arqueología Urbana, Instituto de Arte Americano Mario J. Buschiazzi, Facultad de Arquitectura, Diseño y Urbanismo, Universidad de Buenos Aires*
- XRF-P-2 ANALYSIS OF SCANDIUM IN FINE-GRAINED SCANDIA-STABILIZED ZIRCONIA CERAMICS  
**Paula M. Abdala<sup>1</sup>, Graciela S. Custo<sup>2</sup>, Martha Ortiz<sup>2</sup> and Diego G. Lamas<sup>1</sup>**  
*1 CINSO (Centro de Investigaciones en Sólidos), CONICET-CITEFA, J. Buenos Aires, Argentina*  
*2 Gerencia de Área Seguridad Nuclear y Ambiente, Gerencia Química, Buenos Aires, Argentina*
- XRF-P-3 DETERMINACIÓN DE TRAZAS DE CROMO (VI) EN AGUA POTABLE USANDO ESPECTROMETRÍA DE FLUORESCENCIA DE RAYOS X  
**Pedro R. Aranda, Susana Moyano, Luis D. Martínez y Irma E. De Vito**  
*Área de Química Analítica – Inst. de Química INQUISAL (UNSL - CONICET), F de Química Bioquímica y Farmacia, Universidad Nacional de San Luis., ARGENTINA*
- XRF-P-4 THEORETICAL COMPARISON OF THE RESONANT RAMAN SCATTERING CONTRIBUTION TO THE BACKGROUND OF XRF SPECTRA WITH BOTH MONOCHROMATIC AND POLYCHROMATIC EXCITATION  
**Héctor J. Sánchez, María Cecilia Valentinuzzi, Juan José Leani**  
*Facultad de Matemática, Astronomía y Física, Universidad Nacional de Córdoba, Córdoba, República Argentina*
- XRF-P-5 QUALITATIVE STUDY OF THE CALCIUM LOCAL STRUCTURE IN DIFFERENT TOOTH LAYERS BY MEANS OF RRS EMISSIONS  
**Juan José Leani<sup>1</sup>, Héctor Jorge Sánchez<sup>1</sup>, María Cecilia Valentinuzzi<sup>1</sup>, Carlos Pérez<sup>2</sup>**  
*1 Facultad de Matemática Astronomía y Física, Universidad Nacional de Córdoba, Córdoba, República Argentina.*  
*2 Laboratorio Nacional de Luz Síncrotron, CP 6192/CEP 13084-971, Campinas, Brazil.*
- XRF-P-6 DISEÑO Y CONSTRUCCIÓN DE UN SISTEMA DE ESPECTROSCOPIA DE RAYOS X  
**J. Reyes-Herrera<sup>1</sup>, J. Miranda<sup>2</sup>**  
*Instituto de Física, Universidad Nacional Autónoma de México, 01000 México, D.F.*
- XRF-P-7 COMPOSITIONAL AND STRUCTURAL DEPTH PROFILE ANALYSIS BY CONFOCAL MICRO-XRF  
**R. Daniel Perez<sup>1,2</sup>, H.J. Sánchez<sup>1,2</sup> C.M. Sosa<sup>2</sup> C.A. Perez<sup>3</sup> M. Rubio<sup>1,2</sup>**  
*1 FAMAFA, Universidad Nacional de Córdoba, Ciudad Universitaria, Córdoba, Argentina.*  
*2 Consejo Nacional de Investigaciones Científicas y Técnicas-CONICET, Buenos Aires, Argentina.*  
*3 Laboratorio Nacional de Luz Síncrotron—LNLS, Campinas, SP, Brazil.*
- XRF-P-8 ESTUDO DA CORRELAÇÃO ENTRE CONCENTRAÇÕES MULTIELEMENTARES COMO INDICATIVO DE AÇÃO GASTROPROTETORA DE EXTRATOS FITOTERÁPICOS  
**Letícia Diniz Vieira<sup>1</sup>, Káthia Takeda da Silva<sup>1</sup>, Hélio Kushima<sup>2</sup>, Clélia Akiko Hiruma-Lima<sup>2</sup>, Joel Mesa Hormaza<sup>1</sup>**  
*1 Depto. Física e Biofísica, IBB/UNESP SP, Brasil*  
*2 Depto. Fisiologia, IBB/UNESP Distrito de Rubião SP, Brasil*



- XRF-P-9 ANALISIS DEL CONTENIDO MINERAL (Ca, Fe y P) DE UN YOGUR DE SOJA OBTENIDO POR ULTRAFILTRACIÓN MEDIANTE WDXRF  
**A.N. RINALDONI<sup>1</sup>, M.E. CAMPDERRÓS<sup>1</sup>, A. PÉREZ PADILLA<sup>1</sup>, E. PERINO<sup>2</sup>**  
*1 Instituto de Investigación en Tecnología Química (INTEQUI) – CONICET.  
2 Area de Química Analítica. Facultad de Química, Bioquímica y Farmacia-UNSL San Luis- Argentina.*
- XRF-P-10 DETERMINACION DE ELEMENTOS MAYORITARIOS, MINORITARIOS Y VESTIGIOS MEDIANTE WDXRF EN SILICOFITOLITOS EXTRAIDOS DE POÁCEAS, SUELOS Y PALEOSUELOS HOLOCÉNICOS - SAN LUIS - ARGENTINA  
**E. Strasser<sup>1</sup>; J. E. Fernández<sup>2</sup>; E. Marchevsky<sup>2</sup>; M. Osterrieth<sup>3</sup> y E. Perino<sup>2</sup>**  
*1Departamento de Geología y  
2Área de Química Analítica - UNSL - Argentina.  
3 Centro de Geología de Costas y del Cuaternario - UNMDP – Argentina.*
- XRF-P-11 DETERMINACIÓN DE TRAZAS DE CROMO (VI) EN MUETRAS BIOLÓGICAS (PELO HUMANO) USANDO WDXRF  
**Pedro R. Aranda, Ernesto Perino, Irma E. De Vito y Susana Moyano**  
*Área de Química Analítica - Instituto de Química San Luis, INQUISAL (UNSL - CONICET) Chacabuco y Pedernera. - San Luis, ARGENTINA*
- XRF-P-12 CARACTERIZACIÓN DE ESPECIES MINERALES DE INTERÉS GEOQUÍMICO POR TÉCNICAS DE FRX Y DRX DE LOS YACIMIENTOS DEL SUBGRUPO PEGMATITICO TILISARAO-RENCA, SAN LUIS, ARGENTINA  
**M. B. Roquet<sup>1</sup>, E. Perino<sup>2</sup> y M. Galliski<sup>3</sup>**  
*1 Dpto. Geología, Proy. CyT 349001, UNSL, Argentina  
2 Área de Química Analítica, Proy. CyT 349001, UNSL, Argentina.  
3 IANIGLA-CRICYT, Mza., Argentina*
- XRF-P-13 IN VIVO XRF SCANNING ANALYSIS OF HUMAN NAIL  
**I. R. Chávez<sup>1</sup>, D. Alcamán<sup>1</sup>, R. G. Figueroa<sup>1</sup>**  
*1 Departamento de Cs. Físicas, Universidad De La Frontera Avda, Francisco Salazar 01145, Temuco, Chile*
- XRF-P-14 DETERMINATION OF X-RAY TUBE KERNEL SPECTRUM FOR XRF APPLICATIONS  
**A. H. Díaz<sup>1</sup>, C. A. Parra<sup>1,2</sup>, C. N. Valdés<sup>1,2</sup>, R. G. Figueroa<sup>1</sup>.**  
*1 Departamento de Ciencias Físicas, Universidad De la Frontera, Temuco, Chile.  
2 Unidad de Física Médica, Instituto Nacional del Cáncer, Santiago, Chile.*
- XRF-P-15 DETERMINACIÓN DE RB, SR, Y, ZR, COMO INDICADORES DE FUENTES DE PARTÍCULAS SUSPENDIDAS PROVENIENTES DE SUELOS, POR MEDIO DE UN ESPECTRÓMETRO DE RAYOS X POR DISPERSIÓN EN ENERGÍA.  
**Espinosa A. A.<sup>1</sup>, Miranda J. <sup>1</sup> Gill T. E., <sup>2</sup> Peinado P. <sup>2</sup>**  
*1 Instituto de Física, Universidad Nacional Autónoma de México, A. P. 20-364, 0100 México DF, MEXICO  
2 Instituto de Ciencias Geológicas, University of Texas at El Paso, U.S.A.*
- XRF-P-16 STUDY OF 1S3P RESONANT INELASTIC X-RAY SCATTERING IN MN, CR AND COMPOUNDS WITH HIGH ENERGY RESOLUTION  
**Juan José Leani, Guillermo Stutz, Germán Tirao**  
*Facultad de Matemática, Astronomía y Física, Universidad Nacional de Córdoba, 5000 Córdoba, República Argentina.*



## PIXE, AES, XPS (PAX)

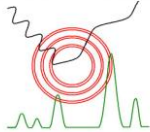
- PAX-P-1 ESTUDIO COMPARATIVO POR XPS Y DRX DEL CARBURO DE MOLIBDENO CÚBICO MoC(1-X) Y HEXAGONAL Mo<sub>2</sub>C  
**Raquel Del Toro<sup>1</sup>, Andreína Herrera<sup>2</sup>, Paulino Betancourt<sup>2</sup>, Joaquín L. Brito<sup>1</sup>**  
*1 Centro de Química, Instituto Venezolano de Investigaciones Científicas, Miranda, Venezuela*  
*2 Facultad de Ciencias, Universidad Central de Venezuela, Caracas. Venezuela*
- PAX-P-2 PIXE AND MICROPIXE ANALYSIS OF ATMOSPHERIC AEROSOLS FROM MEXICO CITY  
**Barrera V.A.<sup>1</sup>, Miranda J.<sup>1</sup>, Morales J.R.<sup>2</sup>, Miranda P.J.<sup>2</sup>, Dias J.F.<sup>3</sup>**  
*1 Instituto de Física, Universidad Nacional Autónoma de México, A. P. 20-364, 0100 México DF*  
*2 Facultad de Ciencias, Universidad de Chile, Santiago, Chile.*  
*3 Instituto de Física, Universidade Federal do Rio Grande do Sul, Porto Alegre, RS-Brazil*
- PAX-P-3 Quantitative analysis on thick samples by PIXE at the IBA facility of University of Chile  
**N. Donoso-Castro<sup>1</sup>, P.A. Miranda<sup>1</sup>, J.R. Morales<sup>1</sup>, S. Cancino<sup>1</sup>, A. Sepúlveda<sup>1</sup>**  
*1 Departamento de Física, Facultad de Ciencias, Universidad de Chile.*  
*Las Palmeras #3425, Santiago-Chile*
- PAX-P-4 ESPECTROSCOPIA DE RECUBRIMIENTOS DE FOSFATO DE CALCIO DEPOSITADOS SOBRE ACERO 316L  
**Fernando Francisco Rios Pimentel<sup>1</sup>, Miguel Ángel Aguilar Frutis<sup>1</sup> y Ma. Magdalena Mendez-Gonzalez<sup>2</sup>**  
*1 Centro de Investigación en Ciencia Aplicada y Tecnología Avanzada, Instituto Politécnico Nacional, México D.F.*  
*3 Escuela Superior de Física y Matemáticas, Instituto Politécnico Nacional, México D.F., México*

## SYNCHROTRON RADIATION (SYN)

- SYN-P-1 EFECTO DE LA SARINA EN LA ELECTRODEPOSICION DE PELÍCULAS DELGADAS DE HIERRO SOBRE PLATA  
**Corredor J1, Castro G2, Jorge G3, Rojas C1.**  
*1 Laboratorio de Física de Superficies y Microscopía Electrónica, Universidad Central de Venezuela. Caracas, Venezuela.*  
*2 Línea española CRG BM25 – Spline, Instalación Europea de Radiación Sincrotrón, Grenoble, Francia.*  
*3 Laboratorio de Electroquímica, Centro de Equilibrios en Solución, Universidad Central de Venezuela. Caracas, Venezuela.*

## X-RAY IMAGING (XRI)

- XRI-P-1 MICROPATTERN GAS DETECTOR (MPGD) FOR XRF IMAGING  
**C.N. Valdés<sup>1,2</sup>, C.A. Parra<sup>1,2</sup>, A.H. Díaz<sup>1</sup>, R. G. Figueroa<sup>1</sup>, J.F.C.A. Veloso<sup>3</sup>, A.L. Silva<sup>3</sup>**  
*1 Departamento de Ciencias Físicas, Universidad de La Frontera, Temuco Chile.*  
*2 Unidad de Física Médica, Instituto Nacional del Cáncer, Santiago, Chile.*  
*3 Departamento de Física, Universidad de Aveiro, Aveiro, Portugal.*



---

XRI-P-2    CARACTERIZAÇÃO DE IMAGENS DE MICROTOMOGRAFIA DE RAIOS X BASEADA EM DESCRITORES DE TEXTURA

**Joaquim T. de Assis<sup>1</sup>, Sandro R. Fernandes<sup>1,2</sup>, Francisléia V. Vidal<sup>1</sup>, Inaya Correa Barbosa Lima<sup>1</sup>, Ricardo T. Lopes<sup>3</sup>**

*1 Universidade do Estado do Rio de Janeiro, Instituto Politécnico, 28630-050 Nova Friburgo, Rio de Janeiro, Brasil*

*2 Instituto Federal do Sudeste de Minas Gerais - Minas Gerais, Brasil*

*3 LIN/COPPE/UFRJ Rio de Janeiro, Brasil*